

種々の締固めをした砂のクリープ試験

提携大学工学部 正員 村山朝郎
 提携大学工学部 正員 道広一利
 (財)大阪土質試験所○正員 早川 清

1. まえがき

現地盤の変形解析を行なう場合、地盤材料の応力～ひずみ～時間関係の解明が必要となる。ここでは、種々の平均主応力 σ_m を繰り返し載荷して締固めた砂の排水三軸クリープ試験について述べる。なお、このクリープ試験においては平均主応力 σ_m は常に一定とし、その値は締固めに用いた平均主応力と同一値を用いた。

2. 試料および方法

砂試料は豊浦標準砂の粒径0.297mm以上、0.074mm以下を取り除いたものを用い、その粒径加積曲線を図1に、物性を表1に表わす。なお、供試体作成方法については「一定の締固めをした砂のクリープ試験」の報告に示しており、ここでは省略する。種々の締固めのために今回用いた繰り返し平均主応力振幅は $0.2 \text{ kgf/cm}^2 \sim 0.9, 1.1, 1.3, 1.4, 1.6, 1.7 \text{ kgf/cm}^2$ である。また、せん断ひずみ γ とは、測定した体積ひずみ ϵ_v 、軸方向ひずみ ϵ_l より次式で計算した。 $\gamma = \frac{3}{2}(\epsilon_l - \epsilon_v/3)$

3. 実験結果およびその考察

(1)応力～ひずみ関係； $\sigma_m = 1.1 \text{ kgf/cm}^2$ における γ ～ $\log t$ 関係(t :経過時間)を図2に示す。他の σ_m で行なった関係も同様な傾向であった(図省略)。種々の一定 σ_m で求めた γ - $\log t$ 関係から、経過時間 $t=1, 20 \text{ min}$ における σ/σ_m ～ γ 関係(σ :偏差応力)を求める図3, 4となる。これらの関係は、いずれの時間のパラメーターにおいても σ_m の大きいかんにかかわらずほぼ1本の曲線として表わされており、図3, 4のデータを両対数紙上にプロットすると、それぞれ図5, 6のよう示され、初期の部分は傾き45°の直線となり、その折点として弾性限界値[粘弾性限界値： $(\sigma/\sigma_m)_{el}$ とする]が得られ、その値は図から $(\sigma/\sigma_m)_{el} = 0.8$ となった。この値は図5, 6から知

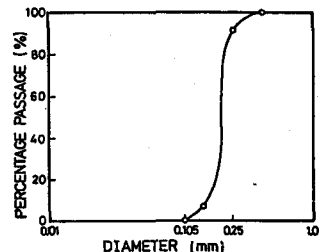


図1. 粒径加積曲線

G_s	D_n	C_u
2.635	0.14	1.47

表1. 物性

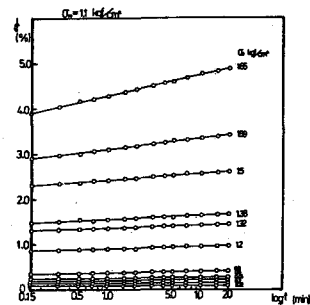


図2. γ - $\log t$

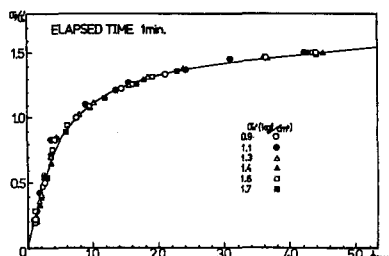


図3. σ/σ_m ～ γ

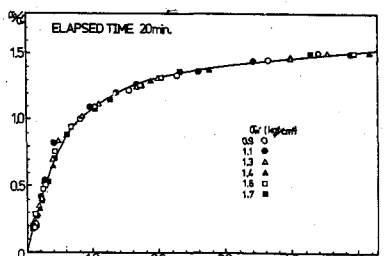


図4. σ/σ_m ～ γ

られるように締固めに用いた σ_m の値にかかわらず一定であることが認められた。

(2)粘弾性限界値；種々の σ_m のもとで行なった $\dot{\sigma}/\sigma_m$ ～ $\log t$ 関係(例えば図2)において、経過時間 $t = 1.5, 10.5 \text{ min}$ のひずみ速度 $d\delta/t$ ～ σ_m 関係(流動曲線)を求めるに、それぞれ図7,8になる。いずれの図も経過時間が一定であれば、それぞれの流動曲線は σ_m の大きさにかかわらず1本の曲線で表わされる。流動曲線の折点は弾性限界値を与えるが、図7,8よりそれらの値はいずれも0.8であって図5,6から求めた粘弾性限界値と一致している。

(3)粘弾塑性領域における応力～ひずみ特性；種々の一定 σ_m で求めた $\dot{\sigma}/\sigma_m$ ～ $\log t$ 関係より描いた図5,6からそれら(σ_m)_{el}における $\dot{\sigma}/\sigma_m$ ～ σ_m 関係(ひずみ δ_{el} を求めて $(\sigma_m - (\sigma_m)_{el})/(t - t_{el})$ ～ σ_m 関係をプロットするとそれぞれ図9,10になる。図9,10から、時間が一定ならば σ_m にかかわらず1本の直線で表わされることがわかる。すなわちこの直線から $(\sigma_m - (\sigma_m)_{el})/(t - t_{el}) = A - B/\sigma_m$ の関係が成立する。この式は村山が求めた砂の塑性状態における応力～ひずみ関係式に対応するものである。

(4)あとがき；等方な平均主応力 σ_m のくり返し載荷で締め固めた砂試料を同じ平均主応力 σ_m のもとで排水クリープさせたときのクリープひずみ δ と応力比 σ_m との関係は、クリープ応力として応力比 σ_m を用いれば、 σ_m の大きいかんにかかわらず一義的に表現されることが実証された。

なお、本実験においてお世話になった、熊谷組：中西古敷司、管野工務店：管野泰功、両氏に深謝の意を表わす。

参考文献

1)村山道広、坂上：“一定の締固めをした砂のクリープ試験”。

2)村山道広、坂上：“砂のクリープ特性について”。

3)S.MURAYAMA: IX ICSMFE CONSTITUTIVE EQUATION OF SOILS

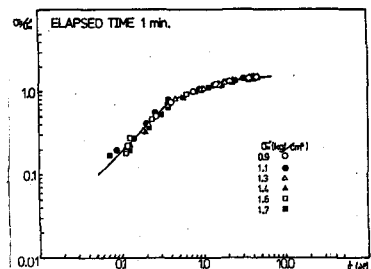


図5. $\log \frac{\sigma}{(\sigma_m)_{el}} \sim \log t$

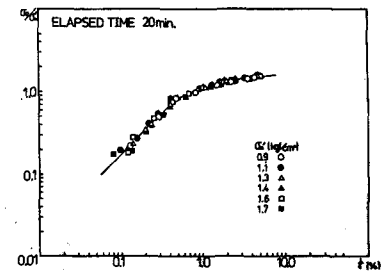


図6. $\log \frac{\sigma}{(\sigma_m)_{el}} \sim \log t$

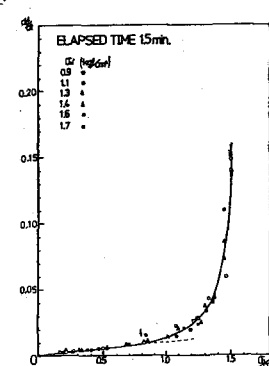


図7. $\frac{d\sigma}{dt} \sim \sigma_m$

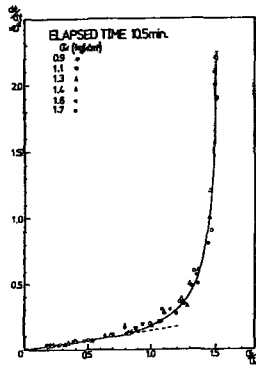


図8. $\frac{d\sigma}{dt} \sim \sigma_m$

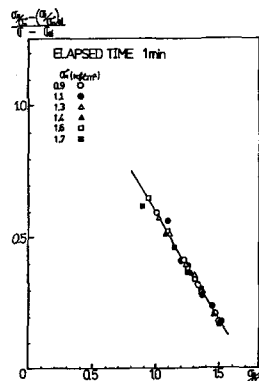


図9. $\frac{\sigma_m - (\sigma_m)_{el}}{t - t_{el}} \sim \sigma_m$

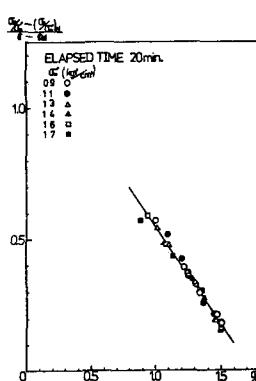


図10. $\frac{\sigma_m - (\sigma_m)_{el}}{t - t_{el}} \sim \sigma_m$